

SiC-6H ПОЛЕВОЙ ТРАНЗИСТОР С РЕКОРДНОЙ ДЛЯ КАРБИДКРЕМНИЕВЫХ ТРАНЗИСТОРОВ КРУТИЗНОЙ

М.М. Аникин, П.А. Иванов, А.Л. Сыркин,
Б.В. Царенков, В.Е. Челноков

В работе сообщается о *SiC-6H* полевом транзисторе (*n*-канальном, с *p-n*-затвором) с рекордной для полевых транзисторов на основе карбида кремния крутизной, равной 7 мСм/мм при комнатной температуре.

1. К настоящему времени на карбиде кремния реализованы все основные типы полевых транзисторов (*FET*). К ним относятся: 1) канальные обедненного типа с *p-n*-затвором (*JFET*) [1-3], с Шотки-затвором (*MESFET*) [2, 4-6] и с затвором в виде металла на изолирующей окисной пленке (*IGFET*) [7, 8, 10]; 2) МОП-транзисторы с инверсным каналом (*MOSFET*) [9, 10]. В последние годы главное внимание уделяется использованию в структурах *SiC FET* кубического политипа (β -*SiC*) [2, 5-10] из-за большей, чем в гексагональных политипах (α -*SiC*), подвижности электронов и возможности гетероэпитаксиального выращивания слоев β -*SiC* на кремниевых подложках.

Параметры лучших *SiC FET* по каждому из перечисленных выше канальных транзисторов обедненного типа сведены в таблице (МОП-транзисторы инверсного типа пока значительно уступают по параметрам тринзисторам с обеднением и поэтому в таблице не представлены).

2. Усилительные свойства полевых транзисторов в схеме с общим истоком характеризуются крутизной $g = (\partial I_D / \partial V_{GS})_{V_{DS}=\text{const}}$, где I_D - ток стока, V_{GS} и V_{DS} - напряжение затвор-исток и сток-исток. Крутизна g *n*-канального *FET* Шокли, как функция V_{DS} , достигает своего максимального значения $g_m = G_0 \left\{ 1 - \left[(|V_{GS}| + V_{bi}) / V_p \right]^{1/2} \right\}$, где $G_0 = q \mu n \alpha Z / L$ - проводимость открытого канала, на участке насыщения тока стока характеристики $I_D - V_{DS}$ (V_{bi} - контактная разность потенциалов на затворе, V_p - напряжение отсечки канала, q - заряд электрона, μ и n - подвижность и концентрация электронов в открытой части канала; α , Z и L - толщина, ширина и длина канала). Отметим, что $n = A(T) N$, где $N = N_D - N_A$ - концентрация нескомпенсированных доноров в канале; $A(T)$ - фактор, определяющий температурную зависимость n . В *SiC* при комнатной температуре $A(T) < 1$.

Насыщение тока стока в *FET* Шокли вызывается отсечкой канала вблизи стока областью пространственного заряда под затвором при приложении к стоку напряжения, большего

Параметры SiC FET

Параметры	Толщина канала a , мкм	Длина канала L , мкм	Концентрация доноров $N_D - N_A$, см ⁻³	Пороговое напряжение V_T , В	Максимальное напряжение $V_{DG\ max}$, В	$E_p = Q_D / \epsilon$, В/см	Величина g/Z , мСм/мм	Приведенная крутизна g/Z , мСм/мм
MESFET [6]	0.6	3.5	$5 \cdot 10^{16}$	1.6	7.5	*	0.8	
HFET [2]	0.3	5.8	$(0.8 \div 3) \cdot 10^{16}$	4	9	$1 \cdot 6 \cdot 10^5$	2.4	
I _G FET [10]	1.2	7.2	$(1 \div 3) \cdot 10^{15}$	13	45	$0.7 \cdot 10^5$	5.3	
MESFET [4]	1.2	10	10^{16}	20	65	$2.2 \cdot 10^5$	1.7	
SiC-IGFET [Настоящее сообщение]	0.2	10	$5 \cdot 10^{17}$	18	85	$1.8 \cdot 10^6$	7.0	

* Значение E_p не указано, потому что приведенные параметры a и N не представляются достоверными, поскольку им не соответствует никакое пороговое значение $V_T = -1.6$ В.

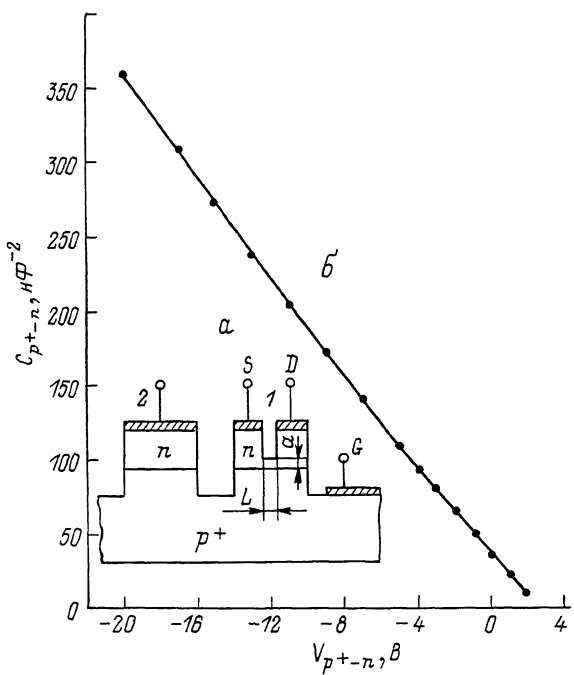


Рис. 1. а) Схематический вертикальный разрез меза-эпитаксиального SiC - $6H$ $JFET$ (1); $L=10$ мкм, $\alpha \approx 0.2$ мкм.
б) C - V характеристика тестового p^+ - n -диода (2); $f=1$ кГц, $T=298$ К.

$V_{DS}^{sat} = |V_T - V_{GS}|$, где пороговое напряжение $V_T = (V_{GS})_{I_D=0} = V_{bi} - V_p$. В этом случае в области канала под затвором вблизи стока возникает пространственный заряд, величина которого, отнесенная к единице площади, $Q_D = qNa$. Связанное с этим зарядом уравнением Пуассона электрическое поле, перпендикулярное направлению протекания тока, имеет максимальную напряженность в плоскости затвора $E_p = Q_D/\epsilon$, где ϵ - диэлектрическая проницаемость полупроводника. Соответствующая разность потенциалов между затвором и открытой частью канала $qNa^2/2\epsilon$ и есть напряжение отсечки канала V_p .

Комбинируя выражения для G_o , n , Q_D и E_p , получаем, что приведенная к единичной ширине канала крутизна $g_m/Z = \mu A(T) \{1 - [(|V_{GS}| + V_{bi})/V_p]^{1/2}\} Q_D/L = \mu \epsilon A(T) \{1 - [(|V_{GS}| + V_{bi})/V_p]^{1/2}\} E_p/L$

Чем больше заряд Q_D в канале, тем выше крутизна транзистора g_m . Однако, чтобы $I_D - V_{DS}$ характеристики имели участок насыщения, необходимо, чтобы при $V_{DS} \leq V_{DS}^{sat}$ в под-

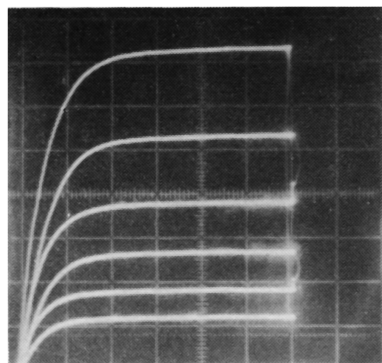


Рис. 2. Выходные характеристики $I_D - V_{DS}$ SiC - $6H$ JFET .
 V_{GS} : 0, -2В, -4В, -6В, -8В, -10В (сверху вниз), $T=298$ К.
 Чувствительность по вертикали 2 мА/дел, по горизонтали - 10/В дел.

затворной области не возникал пробой. Это означает, что заряд Q_D не должен превышать величины, при которой вызываемое им поле E_P достигает значения, соответствующего критическому полю лавинного пробоя полупроводника E_B ($E_B = (2-6) \times 10^6$ В/см для SiC разных политипов и уровней легирования). Таким образом, оптимальный заряд на единицу площади канала, необходимый для достижения предельно высокой крутизны FET

Шокли, $Q_D^{opt} \lesssim \epsilon E_B$ ($Q_D^{opt} \simeq 2 \cdot 10^{-6}$ Кл/см² для SiC).

3. Представленный в данной работе SiC - $6H$ JFET (рис. 1, а) сформирован на основе высокопланарной эпитаксиальной p^+ - n -структурь. Слои p^+ и n выращивались методом вакуумной сублимационной эпитаксии [11] на (0001) Si грани n - SiC - $6H$ подложки с концентрацией нескомпенсированных доноров $N = N_D - N_A \simeq 3 \cdot 10^{18}$ см⁻³. Слой p^+ легирован алюминием до концентрации $N_A - N_D \geq 5 \cdot 10^{18}$ см⁻³, его толщина 20 мкм. Слой n толщиной $\simeq 1.5$ мкм специально не легирован, остаточная концентрация нескомпенсированных доноров в нем $N \simeq 5 \cdot 10^{17}$ см⁻³; значение N получено из $C-V$ характеристики тестового p^+ - n -диода, измеренной на частоте 1 кГц (рис. 1, б). Из $C-V$ характеристики были оценены контактная разность потенциалов на p^+ - n -переходе ($\simeq 2.6$ В) и ширина слоя объемного заряда p^+ - n -перехода при нулевом смешении ($\simeq 0.09$ мкм).

Для формирования омических контактов к истоку S , стоку D и затвору G использовалась двухслойная металлизация из вольфрама и алюминия. Контактный W -слой напылялся методом электронно-лучевого испарения в вакууме с последующим вжиганием при 1600 °С. Термически напыленный в вакууме защитный Al -слой использовался и как маскирующее покрытие при формировании меза-структурь транзистора методом реактивного

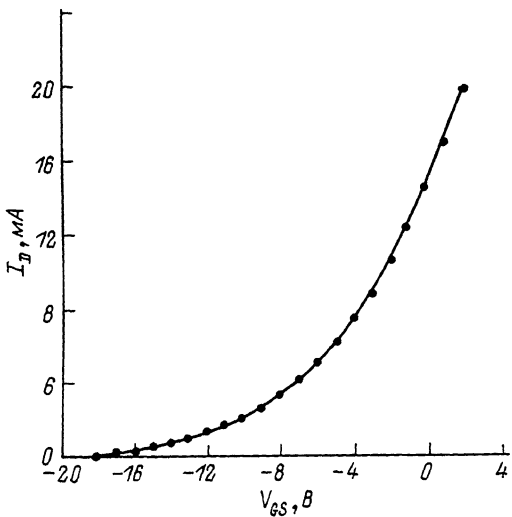


Рис. 3. Входная характеристика $I_D - V_{GS}$ SiC - 6H JFET.
 $V_{DS} = 40$ В, Т=298 К.

ионно-плазменного травления [12]. Каналом транзистора является вытравленный между истоком и стоком n -слой длиной $L = 10$ мкм и шириной $Z = 0.4$ мм. Достижение заданной его толщины $\alpha \approx 0.2$ мкм контролировалось измерением сопротивления сток-исток в процессе травления. Затвором служит $p^+ - n$ -переход. В режиме отсечки область пространственного заряда $p^+ - n$ -перехода перекрывает канал у поверхности эпитаксиальной структуры.

4. Выходные характеристики $I_D - V_{DS}$ при разных V_{GS} , измеренные при комнатной температуре характериографом Л2-56, показаны на рис. 2. Эти характеристики соответствуют модели длинноканальных ($L \gg \alpha$) транзисторов Шокли: они идеально насыщаются при напряжениях $V_{DS}^{sat} \approx |V_T - V_{GS}|$; пороговое напряжение $V_T \approx -18$ В определено из входной характеристики $I_D - V_{GS}$ при $V_{DS} = 40$ В (рис. 3).

Транзистор обладает следующими электрическими параметрами при комнатной температуре: ток стока $I_D = 20$ мА при $V_{GS} = +2$ В и $V_{DS} = 40$ В; напряжение пробоя сток-затвор $V_{DG_B} \approx \pm 90$ В; ток утечки затвора $I_G = 5 \cdot 10^{-9}$ А при $V_{DS} = 0$ и $V_{GS} = -85$ В; крутизна $g = 2.8$ мА/В (7.0 мСм/мм) при $V_{GS} = +2$ В и $V_{DS} = 40$ В. Лучший из известных нам результатов по крутизне – это 5.3 мСм/мм при длине затвора $L = 7.2$ мкм (β - SiC IGFET на α -SiC подложке) [10].

Выше было показано, что оптимальный для достижения высокой крутизны заряд в канале *FET* имеет значение, при котором вызываемое им электрическое поле в подзатворной области $E_p = Q_{\text{q}}^{\text{opt}} / \varepsilon \leq E_B$. В нашем случае величина $E_p \approx 1.8 \times 10^6$ В/см, что близко к значению E_B для карбида кремния и на порядок выше тех значений E_p , которые получаются расчетом по данным, ранее опубликованным для *SiC FET* [2, 4, 6, 10] (см. таблицу). В этих структурах при полях выше $\sim 10^5$ В/см возникают избыточные токи как стока, так и затвора, не связанные с павинным пробоем. Это, по-видимому, не позволило увеличить заряд Q_{q} выше $\sim 10^{-7}$ Кл/см² (в нашем случае $Q_{\text{q}} \approx 2 \cdot 10^{-6}$ Кл/см²), поэтому крутизна *SiC FET* [2, 4, 6, 10] оказалась меньшей по сравнению с нашим транзистором даже для *FET* на основе $\beta\text{-SiC}$, имеющего большую, чем в *SiC-6H*, подвижность электронов.

В заключение авторы выражают благодарность Г.С. Затицкой, Н.Д. Ильинской за помощь при изготовлении образцов.

Список литературы

- [1] Campbell R.B., Chang H.C. // In: Semiconductors and Semimetals, 1970. V. 7B. P. 663-671.
- [2] Kelner G., Binaris S., Sieger K., Kong H. // IEEE Electron Device Letters. 1987. V. EDL-8. N 9. P. 429-431.
- [3] Дмитриев В.А., Иванов П.А., Ильинская Н.Д., Сыркин А.Л., Царенков Б.В., Челноков В.Е., Черенков А.Е. // Письма в ЖТФ. 1988. Т. 14. В. 4. С. 289-293.
- [4] Von Muench W., Hoeck P., Petterpraul E. In: Proceedings of the International Electronic Device Meeting, Washington, 1977, p. 337.
- [5] Yoshida S., Daimon H., Yamamoto M., Sakuma E., Misawa S., Endo K. // J. Appl. Phys. 1986. V. 60. N 8. P. 2989-2991.
- [6] Kong H.C., Palmour J.W., Glass J.T., Davis R.F. // Appl. Phys. Lett. 1987. V. 51. N 6. P. 442-444.
- [7] Kondo Y., Takahashi T., Ishii K., Hayashi Y., Sakuma E., Misawa S., Daimon H., Yamamoto M., Yoshida S. // Jap. J. of Appl. Phys. 1987. V. 26. N 3. P. 310-311.
- [8] Kondo H., Takahashi T., Ishii K., Hayashi Y., Sakuma E., Misawa S., Daimon H., Yamamoto M., Yoshida S. // IEEE Electron Device Letters. 1986. V. EDL-7. N 7. P. 404-406.

- [9] Shiba h ar a K., Saito T., Nishino S., Matsunam i H. Jn. Etended Abstracts of the 18-th International conference on Solid State Devices and Materials, Tokyo, 1986, P. 717-718.
- [10] Palmour J.W., Kong H.C., Davis R.F. // J. App. Phys. 1988. V. 64. N 4. P. 2168-2177.
- [11] Аникин М.М., Гусева Н.Б., Дмитриев В.А., Сыркин А.Л. // Изв. АН СССР. Сер. Неорг. матер. 1984. № 10. С. 1768-1770.
- [12] Попов И.В., Сыркин А.Л., Челноков В.Е. / Письма в ЖТФ. 1986. Т. 12. В. 4. С. 240-244.

Физико-технический институт
им. А.Ф. Иоффе АН СССР,
Ленинград

Поступило в Редакцию
4 апреля 1989 г.

Письма в ЖТФ, том 15, вып. 16 26 августа 1989 г.
05.4

АТОМНЫЕ КОНФИГУРАЦИИ ВАКАНСИЙ В ВЫСОКОТЕМПЕРАТУРНЫХ СВЕРХПРОВОДНИКАХ

В.В. Кирсанов, Н.Н. Мусин

Открытые в 1986 году высокотемпературные сверхпроводники (ВТСП) [1] привлекли внимание возможностью широкого применения в энергетике, промышленности, науке.

При этом встает вопрос о радиационной стойкости ВТСП. Как показывают первые эксперименты по облучению ВТСП нейтронами [2] и ионами [3, 4], эти материалы очень чувствительны к радиационным дефектам. Пока неясно, какой тип дефектов является главным в ВТСП. С целью выяснения природы радиационных дефектов планируется провести ряд вычислительных экспериментов по моделированию точечных дефектов в ВТСП. Первые результаты описаны в данном письме. Методом молекулярной динамики была определена атомная конфигурация вакансии меди в $La_{1.85}Ba_{0.15}CuO_4$.

Вычислительный эксперимент проводился на модельном кристаллите, имеющем форму прямоугольного параллелепипеда и содержащем 635 атомов. Для описания взаимодействия между атомами использовался парный потенциал, предложенный в работе [5]. Модельный кристаллит окружался упругим континуумом. Взаимодействие поверхностных атомов с упругим континуумом моделировалось введением постоянных поверхностных и упругих сил. Избыток энергии отводился посредством искусственной диссиляции энергии. Для адекватного решения задачи о